

## تهیه نقشه خطر فرسایش واقعی خاک با استفاده از مدل گرین اصلاح شده (مطالعه موردی: حوضه آبخیز جهرم)

عادل سپهر<sup>۱</sup> - استادیار ژئومورفولوژی، دانشگاه فردوسی مشهد، مشهد، ایران  
سعیده هنرمند نژاد - کارشناس ارشد ژئومورفولوژی، دانشگاه اصفهان، اصفهان، ایران

تاریخ دریافت: ۱۳۹۱/۷/۱۱ تاریخ تصویب: ۱۳۹۱/۱۰/۱۹

### چکیده

فرسایش خاک به عنوان یکی از مخاطرات محیطی، سالانه موجب افت و از بین رفتن حجم وسیعی از خاک‌های حاصلخیز در سراسر دنیا می‌شود. مدل گرین<sup>۲</sup>، مدلی جهت تخمین و ارزیابی خطر فرسایش خاک است. این روش، برای محاسبه فرسایش واقعی خاک به عوامل فرسایش‌پذیری، فرسایش‌دهندگی، شیب و پوشش گیاهی یا کاربری اراضی نیازمند است. در این پژوهش، مدل گرین منطبق با شرایط آب و هوایی حوضه آبخیز جهرم، اصلاح و از مدل گرین اصلاح شده جهت برآورد خطر فرسایش خاک منطقه استفاده شده است. بدین منظور بر اساس شاخص فرسایش‌دهندگی فورنیه، فرسایش‌دهندگی منطقه مطالعاتی محاسبه گردید. همچنین فرسایش‌پذیری خاک نیز بر اساس بافت، میزان سنگریزه و عمق برآورد شد. تلفیق نقشه‌های فرسایش‌دهندگی و فرسایش‌پذیری با نقشه پوشش گیاهی بر مبنای شیب منطقه، تولید نقشه خطر فرسایش واقعی خاک در منطقه مطالعاتی را به همراه داشت. نتایج پژوهش نشان داد بیش از ۸۰٪ حوضه آبخیز جهرم، دارای خطر متوسط و بالا برای فرسایش بالقوه خاک است؛ در حالی که حوضه مذکور از فرسایش واقعی خاک نسبتاً کم‌تری برخوردار است. فرسایش واقعی خاک در منطقه مطالعه شده، حدود ۲۰٪ در کلاس بالا قرار دارد. مناطقی که دارای خطر فرسایش واقعی بالایی هستند، در نواحی با بیشترین بارش، بیشترین شیب و کمترین پوشش گیاهی در منطقه مطالعاتی مشاهده می‌شوند. این نتایج، مؤید نقش پررنگ پوشش گیاهی در حفاظت از خاک است.

**کلیدواژه‌ها:** خطر فرسایش واقعی خاک، خطر فرسایش بالقوه خاک، مدل گرین اصلاح شده.

## مقدمه

فرسایش که در انگلیسی و فرانسه به آن اروژن<sup>۱</sup> می‌گویند، از ریشه لاتین ارودری<sup>۲</sup> به معنی سائیدگی می‌باشد و به معنی سائیده شدن سطح زمین است (رفاهی، ۱۳۷۵: ۲۳). بیش از ۷۰٪ مساحت ایران را محیط‌های خشک و نیمه خشک در بر گرفته است. فرسایش خاک یک فرایند پیچیده و خطر ژئومورفولوژیکی بالقوه است و مقدار آن بازتابی از نحوه مدیریت زمین و شاخص‌های محیطی تخریب به شمار می‌رود. همچنین به دلیل خاصیت تشدید شونده و اثرات چند جانبه آشکار و نهان محیط زیستی، به سرطان زمین شهرت یافته است (روستایی و همکاران، ۱۳۸۹: ۱۷۳). فرسایش خاک، کاهش ضخامت لایه سطحی خاک به وسیله رواناب یا باد و افت خاک، میزان هدر رفت حجمی از خاک در طول سال است (اختصاصی و سپهر، ۱۳۹۰: ۴۳). بانک جهانی و دیگر مراکز تحقیقاتی دنیا نرخ فرسایش را در جهان بین ۱/۲ تا ۳۷ تن در هکتار تخمین زده‌اند (مالاوا و بوندا<sup>۳</sup>، ۱۹۹۹، ص ۲). به‌طور کلی بیشترین مساحت در معرض خطر فرسایش در جهان مربوط به قاره آسیا با ۳۵ میلیون هکتار و پس از آن مربوط به قاره‌های آفریقا، آمریکا و اروپاست (کارتاجنا<sup>۴</sup>، ۲۰۰۴: ۲۱). سرعت تشکیل ۲۵ میلی متر خاک در ۳۰ سال تقریباً برابر است با فرسایش ۱۲/۵ تن در هکتار در سال و این رقمی است که اغلب به عنوان حدی که فرسایش نباید از آن بیشتر شود پذیرفته شده است. البته واضح است که میزان قابل قبول خاک از دست رفته ثابت نبوده و به شرایط خاک بستگی دارد (هادسون<sup>۵</sup>، ۱۳۷۲). بر اساس مطالعات انجام گرفته در ایران سالیانه به طور متوسط ۱۵۰۰ تن خاک از هر کیلومتر مربع سطح زمین در اثر فرسایش آبی شسته می‌شود و این بدان معناست که هر سال یک میلیون متر از ضخامت خاک در کشور کاسته می‌شود (کرمی، ۱۳۷۲: ۱۰). استفاده و بهره برداری از خاک، بدون رعایت اصول اساسی موجب فرسایش خاک گشته و در نتیجه زمین‌های زراعی و مرتعی فقیرتر، حجم رواناب و سیلاب افزون‌تر، رسوب گذاری در پایین دست و بستر رودخانه‌ها و مخازن سدها بیشتر و در نهایت باعث ایجاد مشکلات فراوان می‌شود (شاهویی، ۱۳۷۷: ۳۰).

در ارتباط با برآورد فرسایش خاک، آنچه مهم است انتخاب مدل‌ها و روش‌هایی است که قادر به برآورد افت یا فرسایش واقعی خاک باشند. خروجی مدل‌هایی مانند EPM<sup>۶</sup>، IRIFR<sup>۷</sup>، FAO PSIAC<sup>۸</sup>، میزان و شدت فرسایش خاک با توجه به به عامل فرسایش دهنده است که در نهایت شدت فرسایش بادی و آبی بر حسب مدل تهیه خواهد شد. اما روش‌ها و مدل‌هایی چون ماسگریو<sup>۹</sup>، USLE و MUSLE، میزان افت واقعی خاک را در طول سال برآورد می‌کند. مدل گرین نیز از جمله

1 Erosion

2 Eroderi

3 Malava&amp;Bonda

4 Cartagena

5 Hadson

6 Erosion Potential Method

7 Pacific Southwest InterAgency Committee

8 Iran Research Institute of Forest and Rangelands

9 Universal Soil Loss Equation

روش هایی است که قادر به برآورد میزان فرسایش واقعی و بالقوه خاک است. منظور از فرسایش دهندگی<sup>۱</sup>، مقدار نیرویی که برای انجام فرسایش لازم است و از میان عوامل طبیعی بارش و دما فاکتورهای فرسایش دهنده طبیعی محسوب می شوند. فرسایش پذیری<sup>۲</sup> عبارت از مقاومت خاک در برابر جدا شدن و انتقال ذرات خاک است (رفاهی، ۱۳۸۵: ۱۸). برای درک بهتر تفاوت این دو اصطلاح، می توان این طور مثال زد که یک انسان دارای سیستم ایمنی در برابر بیماری هاست، عامل بیماری و آسیب به سیستم ایمنی را می توان ویروس دانست که به مثابه بارش یا عامل فرسایش دهنده عمل می کند. مقاومت و حساسیت سیستم ایمنی به ویروس را می توان به مثابه مقاومت و یا فرسایش پذیری خاک در برابر عامل فرسایش یا بارش دانست. حال ممکن است یک فرد با محافظت از بدن مانند پوشیدن لباس کافی، مقاومت سیستم ایمنی را بالا برد که این امر به مانند وجود پوشش گیاهی و کاربری مناسب در خاک می باشد که موجب مقاومت در برابر فرسایش می شود. نقشه پتانسیل فرسایش خاک بیانگر مقدار پتانسیل فرسایش خاک یا قابلیت فرسایش خاک در آینده است. فعالیت های تحقیقاتی زیادی در ایران در ارتباط با فرسایش صورت گرفته است؛ مانند کاهکش (۱۳۷۵) در ارزیابی قابلیت فرسایش خاک با استفاده از سنجش از دور و سیستم اطلاعات جغرافیایی (مطالعه موردی حوضه آبریز دریاچه سد دز) به این نتیجه رسید که در قسمت های مرتفع حوضه که منطبق بر شیب های تند و بارندگی شدید است بیشترین حساسیت به فرسایش خاک وجود دارد و در قسمت های پست تر حوضه از میزان فعالیت این عوامل کاسته شده است و رحمت نیا (۱۳۷۶) در مطالعه موردی زیر حوضه های غرب و جنوب غرب قره سو، ضمن تهیه نقشه پهنه بندی فرسایش با استفاده از GIS به این نتیجه رسید که تصاویر ماهواره ای و GIS دقت و سرعت زیادی برای رسم نقشه کاربری اراضی دارد. همچنین شناسایی کانون های بحرانی و حساس به فرسایش بادی، طرح های صورت گرفته بوسیله نهادها و سازمان های دولتی و غیر دولتی و همچنین پایان نامه های تحصیلات تکمیلی، نمونه هایی از این پژوهش هاست. آوو<sup>۳</sup> و همکاران (۱۹۹۷) به بررسی کاربرد مدل های برآورد فرسایش USLE<sup>۴</sup> و SLEMSA<sup>۵</sup> در نقشه برداری پتانسیل خطر فرسایش در جنوب غرب نیجریه پرداخته اند. آتندا<sup>۶</sup> (۲۰۰۲) کیفیت خطر فرسایش آبی در دشت مرطوب بنین<sup>۶</sup> را با استفاده از دو مدل USLE و SLEMSA مورد ارزیابی قرار داده و نتیجه گرفته است که مدل SLEMSA به دلیل تشابه نتایج آن با نتایج طرح های صورت گرفته، انطباق بهتری با شرایط گرمسیری دارد. ورین<sup>۷</sup> (۲۰۰۳) نیز در مقاله ای به بررسی سه مدل USLE/RUSLE/SLEMSA، پرداخته و به اهمیت انتخاب مدل بر اساس اثبات کیفیت آن معتقد است. دوگان<sup>۸</sup> (۱۹۹۸)، با استفاده از مدل USLE، فرسایش خاک در کشور

1 Erosivity

2 Erodibility

3 Igwe

4 Slemsa (Soil Loss Estimation Model for Southern Africa)

5 Attanda

6 Benin

7 Svorin

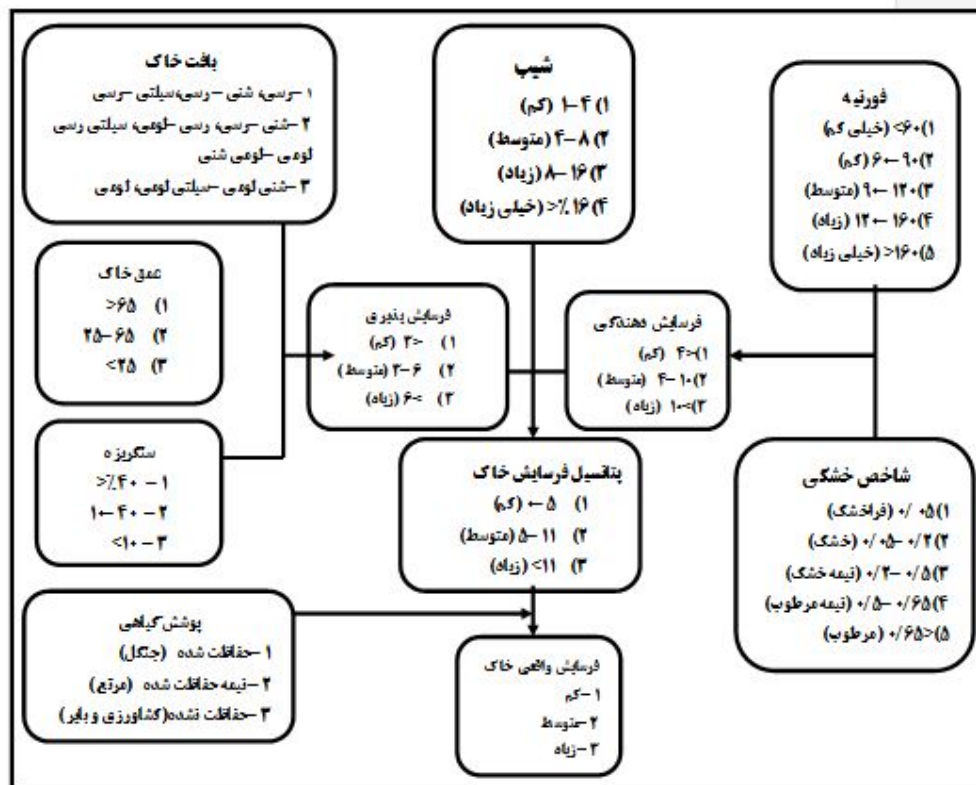
8 Dogan

ترکیه را مورد ارزیابی قرار داده است. پژوهش وی مؤید افت شدید خاک در منطقه مطالعاتی بوده است. مورگان<sup>۱</sup> و همکاران (۱۹۸۴)، سرعت افت خاک را در مناطق کشاورزی تراس‌های هیمالیا، بالای ۵۶ تن در هکتار در سال بر آورد کردند. این در حالی است که پایین‌ترین افت خاک در اراضی با درختان انبوه و زمین‌های آبیاری شده برنج، با کمتر از ۱ تن در هکتار در سال بوده است. جیتاس<sup>۲</sup> و همکاران (۲۰۰۰)، مطالعه‌ای پیرامون تخمین خطر فرسایش خاک با استفاده از مدل USLE در یونان انجام دادند که نتایج به دست آمده حاکی از خطر افت خاک بسیار پایین در یونان است. گریم<sup>۳</sup> و همکاران (۲۰۰۳)، خطر فرسایش خاک را با استفاده از مدل USLE در ایتالیا برآورد کردند. نتایج آنها بیانگر خطر افت خاک بسیار پایین در ایتالیا بوده است. دینگیز<sup>۴</sup> و همکاران (۲۰۰۴)، خطر فرسایش خاک را در منطقه گلباسی<sup>۵</sup>، در جنوب آنکارا با استفاده از مدل گرین تخمین زدند. نتایج به دست آمده نشان دهنده این بود که ۷۹/۲٪ از مناطق مورد مطالعه با خطر فرسایش کم، ۲۳/۸٪ خطر متوسط و ۱٪ با خطر فرسایش بالا روبرو است. یوکسل<sup>۶</sup> و همکاران (۲۰۰۸)، با کمک نرم افزار ArcGIS و RS، نقشه فرسایش خاک حوضه سد کارتیکایا<sup>۷</sup> در ترکیه را بر اساس مدل گرین تهیه کردند. نتایج به دست آمده از حوضه سد نشان داد در حدود ۳۳٪ منطقه در کلاس کم، ۳۵٪ در کلاس متوسط و ۳۰٪ در کلاس بالای فرسایش خاک واقع شده است. در پژوهشی مشابه، پارلک<sup>۸</sup> و همکاران (۲۰۰۳)، فرسایش خاک را در سد کورتبوغازی<sup>۹</sup> آنکارا با مدل گرین برآورد کردند. طبق نتایج به دست آمده ۸۳٪ منطقه مورد مطالعه فرسایش کم، ۱۵٪ متوسط و کمتر از ۱٪ در شمال شرق حوضه سد، با فرسایش واقعی خاک بالایی روبرو است. بایرامین<sup>۱۰</sup> و همکاران (۲۰۰۵)، در مطالعه‌ای در آنکارا با مدل گرین، با کمک تصاویر ماهواره طی ۵ دوره مختلف از سال ۱۹۵۸ تا ۲۰۰۳ خطر فرسایش خاک را بررسی کردند. نتایج پژوهش ایشان حاکی از آن بود که فرسایش خاک در آنکارا در سال ۲۰۰۳، به بیشترین حد خود رسیده و بیش از ۸۵٪ منطقه مورد مطالعه در کلاس بالای فرسایش واقعی خاک قرار دارد. آیدین<sup>۱۱</sup> و همکاران (۲۰۱۰)، بر اساس مدل گرین در محیط GIS، فرسایش خاک در حوضه سد استانبول را بررسی کردند. طبق تحقیقات ایشان، فرسایش خاک در حوضه سد از سال ۱۹۸۴ تا ۲۰۰۳ از ۱۷٪ به ۲۷٪ افزایش داشته است.

یکی از مدل‌های کاربردی تخمین فرسایش خاک و نمایش توزیع فضایی فرسایش خاک، مدل یا روش کرین می‌باشد. این مدل بر پایه معادله جهانی افت خاک (USLE)، توسعه و بسط داده شده است. لازم به ذکر است که مدل گرین

- 
- 1 Morgan
  - 2 Gitas
  - 3 Grimm
  - 4 Dengiz
  - 5 Globasi
  - 6 Yuksel
  - 7 Kartalkaya
  - 8 Parlak
  - 9 Kurtbogazi
  - 10 Bayramin
  - 11 Aydin

اولین بار توسط مایکل کریکبی<sup>۱</sup> در سال ۲۰۰۱ به کار گرفته شده است. این روش برای محاسبه فرسایش واقعی خاک به عوامل فرسایش پذیری، فرسایش دهندگی، شیب و پوشش گیاهی یا کاربری اراضی نیازمند می‌باشد. مراحل مدل گرین اصلاح شده که در این پژوهش ملاک عمل قرار گرفته است، در شکل (۱) نمایش داده شده است. داده‌های پوشش گیاهی در مدل گرین یکی از مهم‌ترین پارامترها برای رسیدن به نقشه فرسایش واقعی خاک است؛ چرا که شدت پوشش گیاهی اهمیت بسزایی در کاهش فرسایش دارد (یوکسل و همکاران، ۲۰۰۸: ۶۵۹).

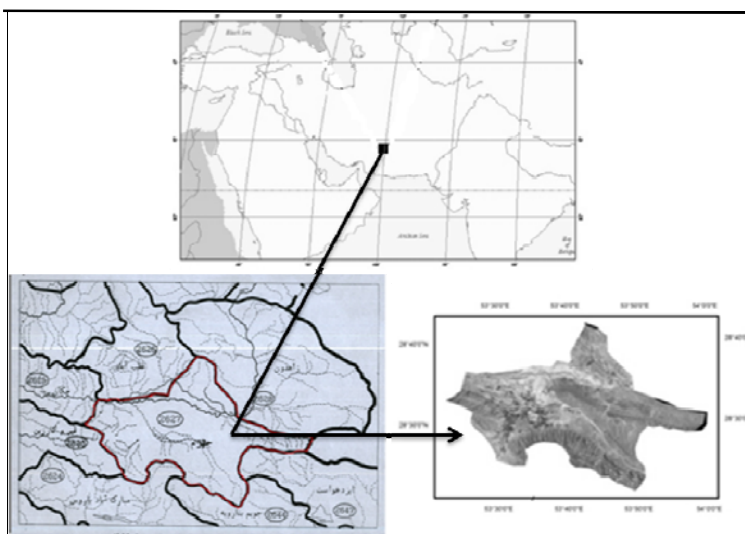


شکل ۱. مراحل الگوریتم گرین اصلاح شده

هدف از این پژوهش بررسی و ارزیابی میزان افت واقعی و پتانسیل خاک در قالب محاسبه عوامل فرسایش دهنده و فرسایش پذیری خاک با استفاده از الگوریتم کرین است. شاید بتوان گفت این پژوهش برای نخستین بار در ایران به منظور تهیه نقشه خطر فرسایش واقعی خاک با روش گرین به کار گرفته شده است.

منطقه مورد مطالعه

منطقه مطالعاتی پژوهش را حوضه آبخیز جهرم با مساحت ۱۰۰۸ کیلومتر مربع تشکیل می‌دهد که در عرض جغرافیایی ۲۸ درجه و ۳۵ دقیقه تا ۲۸ درجه و ۷۰ دقیقه و طول جغرافیایی ۵۳ درجه و ۳۸ دقیقه تا ۵۳ درجه و ۹۹ دقیقه واقع شده است (شکل ۲). توپوگرافی حوضه را کوهستان و دشت تشکیل می‌دهد که قسمت کوهستانی در جنوب، جنوب غرب و شمال شرق حوضه دیده می‌شود و قسمت‌های شمالی و مرکزی، بخش کم شیب حوضه را در بر می‌گیرد. نواحی دشتی، قسمت‌های شرق و شمالی را شامل می‌شود و در قسمت‌های شرقی شاهد مراتع و زمین‌های مزروعی نیز هستیم. در حوضه آبخیز جهرم به دلیل وجود سازندهای حساس به فرسایش مانند آسماری-جهرم، رازک، چمپه، آجاجاری، بختیاری و رسوبات کواترنری (شکل ۳)، شواهدی از فرسایش سطحی، شیباری، خندقی، توده‌ای، رودخانه‌ای و انحلالی یافت شده است و با مشکل فرسایش خاک روبه‌رو است (اداره جهاد کشاورزی و منابع طبیعی شهرستان جهرم، ۱۳۸۴).

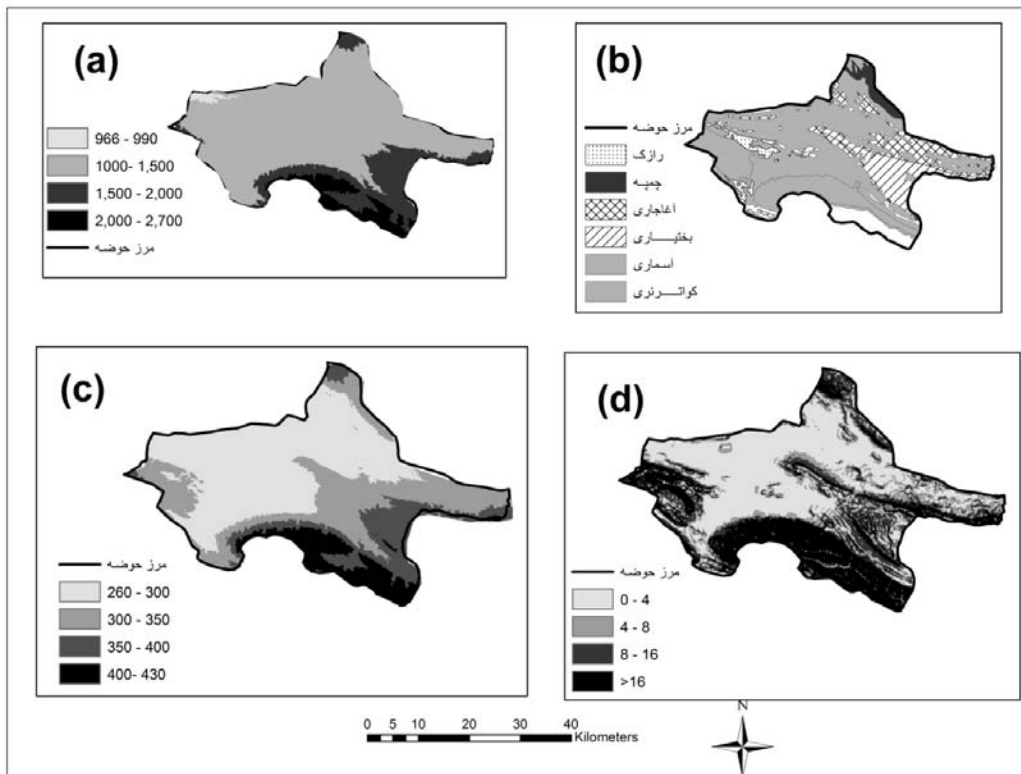


شکل ۲ موقعیت جغرافیایی منطقه مطالعاتی

در حوضه جهرم، سازندهای رازک، آجاجاری و چمپه از سازند گچساران قابلیت رسوب‌زایی بالایی دارند. در مقابل سازند آهکی آسماری جهرم با توجه به ساختار زمین‌شناسی خود از استحکام بالایی برخوردار بوده و در کنار آن سازند بختیاری نیز یک درجه کمتر از همین ویژگی برخوردار است. این دو سازند پتانسیل رسوب‌زایی بسیار کمی دارند. مواد مادری خاک‌های حوضه، از رسوبات آبرفتی دوران چهارم (کواترنری) است. مهم‌ترین رودخانه حوضه، رودخانه فصلی شور که از وسط حوضه می‌گذرد و رودخانه فرعی چاه قوچ است و شیب آبراهه اصلی آن زیاد تا متوسط است. در خصوص ویژگی‌های اقلیمی منطقه مورد مطالعه و مجاور آن، آمار ۳۵ ایستگاه مورد استفاده قرار گرفته است. در حوضه مطالعاتی، دی ماه سردترین ماه سال و مردادماه گرم‌ترین ماه سال می‌باشد. از نظر دمایی حوضه، دارای دو فصل

سرد و گرم (زمستان و تابستان) و دو فصل متناوب (بهار و پاییز) با دمای متعادل است. دامنه متوسط دمای سالانه ایستگاه‌های منطقه بین ۱۹/۷ درجه در ایستگاه سروو تا ۲۳/۸ در ایستگاه لامرد و مبارک آباد در نوسان است. متوسط حداکثر دمای سالیانه حوضه، بین ۲۶/۲۵ تا ۳۱/۶ درجه سلسیوس در ایستگاه‌های سروو و مبارک آباد در نوسان است. کمترین میانگین حداقل دمای ماهیانه در (دیماه) با مقدار ۱/۳ درجه سلسیوس در ایستگاه فسا و بالاترین مقدار حداکثر دما ماهیانه برابر با ۲۶/۵ درجه (مرداد ماه) در ایستگاه لارستان به ثبت رسیده است. حداکثر مطلق دمای ثبت شده برابر با ۴۹ درجه سانتی‌گراد در ایستگاه‌های مبارک آباد و حداقل مطلق درجه حرارت ثبت شده برابر با ۶۲- درجه سانتی‌گراد در دی ماه در ایستگاه فسا رخ داده است.

متوسط میزان بارندگی از ۲۰۵ تا ۳۸۷ میلی‌متر در بین ایستگاه‌های لارستان و سروو متغیر است. بیشترین مقدار بارش ماهانه ۹۸ میلی‌متر در ایستگاه سروو و در دی ماه و کمترین مقدار بارش در غالب ایستگاه‌ها در فصل تابستان ثبت شده است. حداکثر بارش ۲۴ ساعته مربوط به ایستگاه فسا در سال آماری ۶۶-۱۳۶۵ رخ داده است. بیشترین بارش ماهانه با ۴۵۱ میلی‌متر در ایستگاه سروو (آذرماه) به ثبت رسیده است. تبخیر سالانه ایستگاه‌ها بین ۲۱۵۰ میلی‌متر (ایستگاه دارب) و ۳۲۶۰ میلی‌متر (ایستگاه لارستان) در نوسان است. بیشترین تبخیر ماهانه با ۴۸۹ میلی‌متر در تیرماه در ایستگاه لارستان به ثبت رسیده است. به طور کلی بیشترین تبخیرها در فصل تابستان و کمترین آنها در فصل زمستان رخ می‌دهد. در شکل ۳، نقشه زمین‌شناسی، طبقات ارتفاعی، شیب و مناطق هم‌بارش منطقه مطالعاتی، نمایش داده شده است.



شکل ۳ نقشه طبقات ارتفاع (a)، نقشه زمین شناسی (b)، نقشه هم بارش (c) و شیب (d) حوضه آبخیز جهرم

مواد و روش‌ها

در این مطالعه پس از تعیین محدوده مورد مطالعه و تعیین مرز حوضه آبریز در محیط GIS، به منظور تهیه کلیه لایه‌های اطلاعاتی نظیر نقشه فرسایش‌دهندگی و فرسایش‌پذیری، با کمک نقشه توپوگرافی ۱/۵۰۰۰۰، مدل رقومی ارتفاع (DEM) محدوده مطالعاتی تهیه شد (شکل ۳). سپس با کمک DEM تهیه شده، شیب منطقه در چهار کلاس تهیه گردید (جدول ۱). شایان ذکر است از آنجا که در این مطالعه، عامل شیب به عنوان لایه اصلی در برآورد میزان خطر فرسایش بالقوه خاک محسوب شده است و با توجه به اینکه، در تیپ‌های ژئومورفولوژی بسته به شیب‌های متفاوت، میزان فرسایش‌دهندگی و بالتبع فرسایش‌پذیری خاک متفاوت است، کلاس‌بندی شیب با عنایت به درجه شیب تیپ‌های ژئومورفولوژی در منطقه صورت گرفت (جدول ۱).

جدول ۱ کلاس‌های شیب منطقه بر پایه تیپ‌های ژئومورفولوژی

طبقات شیب (%)	تیپ ژئومورفولوژی	مساحت (km <sup>2</sup> )	کلاس کیفی شیب
۱-۴	دشت‌سر پوشیده	۵۰۸	کم



متوسط	۱۱	دشت سرآپانداژ	۴-۸
زیاد	۹	دشت سر فرسایشی	۸-۱۶
خیلی زیاد	۴۸۰	کوه	>۱۶

پس از تهیه نقشه شیب، نسبت به تهیه لایه‌های مختلف اطلاعاتی که در روش گرین جهت برآورد فرسایش خاک استفاده می‌شود، اقدام شد. با توجه به الگوریتم گرین، دو لایه فرسایش‌دهندگی و فرسایش‌پذیری خاک در تهیه خطر فرسایش بالقوه و واقعی خاک همراه با لایه‌های پوشش گیاهی و شیب به کار می‌روند. در این مطالعه، شیوه تهیه لایه‌های مذکور، با توجه به شرایط منطقه مطالعاتی، در روش گرین، اصلاح گردید (شکل ۱). کلاس‌های شیب، شاخص خشکی و طبقات کاربری با توجه به منطقه مطالعاتی انتخاب و اجرا گردید.

در این مطالعه، به منظور تهیه نقشه فرسایش‌دهندگی از شاخص فورنیه (رابطه ۱) و شاخص خشکی (رابطه ۲) کمک گرفته شده است.

$$FI = \sum_{i=1}^{12} \frac{P_i^2}{P}$$

۱۱

$P_i$  = متوسط بارش ماهانه (mm)

$i$  = ماه

$P$  = میانگین بارش سالانه (mm)

جهت محاسبه شاخص فورنیه از آمار بارش ایستگاه‌های موجود اداره هواشناسی بهره گرفته شده است. جدول ۲، آمار بارش ایستگاه اقلیم‌شناسی جهرم را بر اساس آمار و داده‌های اداره هواشناسی فارس و شرکت آب منطقه‌ای استان نشان می‌دهد. آمار هر ایستگاه معرف میانگین ۴۰ ساله آمار بارندگی برای هر ماه است.

شاخص فورنیه، به نوعی بیانگر درجه عملکرد عامل فرسایش‌دهنده خاک است. به عبارتی میزان نقش عامل بارش را در فرسایش‌دهندگی خاک نشان می‌دهد.

شاخص خشکی فائو-یونپ<sup>۱</sup> بیانگر عملکرد همزمان تبخیر و بارش در فرسایش‌دهندگی یک منطقه است. رابطه ۲، شاخص مذکور را که بر حسب متوسط بارش سالانه به متوسط تبخیر و تعرق سالانه است، نشان می‌دهد (اختصاصی و سپهر، ۱۳۹۰). تبخیر و تعرق بر اساس آمار ایستگاه‌های منطقه مطابق جدول (۳) محاسبه شده است.

$$\frac{P}{ETP}$$

۱۲

$P$  = متوسط بارش سالانه

$ETP$  = متوسط تبخیر و تعرق

داده‌های اقلیمی شامل متوسط بارش ماهانه و متوسط تبخیر و تعرق، طی یک دوره ۴۰ ساله از ۱۳۵۰ تا ۱۳۹۰ و از ۳۵ ایستگاه اقلیمی به دست آمده است که جدول ۲ و ۳ چند ایستگاه را به عنوان نمونه نشان می‌دهد. پس از انجام محاسبات مربوط به شاخص خشکی و شاخص فورنیه، جهت برآورد و تخمین میزان شاخص فرسایش دهندگی، با استفاده از ضرب ارزش‌های عددی طبقات مطابق رابطه ۳، شاخص فرسایش دهندگی محاسبه شده است.

جدول ۲ میانگین بارش سالانه و ماهانه (mm) ایستگاه‌های حوضه آبریز منطقه در دوره ۱۳۵۰ تا ۱۳۹۰

ایستگاه	مهر	آبان	آذر	دی	بهمن	اسفند	فروردین	اردیبهشت	خرداد	تیر	مرداد	شهریور	سالانه
چهرم	۱	۱۲	۶۱	۷۸	۵۴	۴۴	۲۵	۷	۱	۱	۲	۱	۲۸۰
بابا عرب	۱	۹	۴۵	۶۲	۵۲	۴۳	۲۴	۸	۱	۲	۳	۱	۲۴۰
فسا	۱	۱۱	۶۰	۸۰	۶۵	۵۳	۲۹	۹	۰	۱	۲	۰	۳۱۱
سروو	۱	۱۲	۷۶	۹۸	۸۱	۶۸	۳۵	۱۲	۱	۳	۷	۴	۳۸۷
مبارک آباد	۱	۹	۶۴	۷۶	۴۷	۴۶	۲۲	۷	۱	۱	۱	۱	۲۷۵
لارستان	۱/۵۹	۳/۱۹	۲۷/۵	۴۴/۲	۴۲/۲	۳۳/۶	۲۱/۳	۶/۱۹	۴/۸	۴/۸	۱۱/۳	۴/۴	۲۰۵/۴
داراب	۰/۳	۴/۱۳	۴۵/۳	۶۶/۹	۵۸/۹	۴۴/۷	۳۳/۹	۶/۷	۱/۳	۱/۰۹	۳/۹	۰/۷	۲۵۰/۱

جدول ۳ متوسط تبخیر و تعرق سالانه و ماهانه (mm) ایستگاه‌های منطقه در دوره ۱۳۵۰ تا ۱۳۹۰

ایستگاه	مهر	آبان	آذر	دی	بهمن	اسفند	فروردین	اردیبهشت	خرداد	تیر	مرداد	شهریور	سالانه
چهرم	۲۰۴	۳۰۹	۳۸۹	۴۱۸	۳۹۳	۳۴۱	۲۴۲	۱۵۰	۸۶	۶۱	۸۲	۱۲۳	۲۳۸۷
بابا عرب	۲۳۱	۱۴۵	۷۹	۶۳	۸۰	۱۲۰	۱۸۳	۲۸۸	۳۶۶	۴۱۲	۳۸۷	۳۳۷	۲۷۰۱
فسا	۱۷۹	۲۹۴	۴۲۱	۴۵۱	۴۲۵	۳۵۳	۲۴۹	۱۴۲	۶۱	۲۲	۳۳	۶۸	۲۶۱۰
سروو	۲۹۵	۱۹۴	۱۱۲	۸۸	۱۰۵	۱۵۱	۳۳۱	۳۳۹	۴۳۲	۴۶۴	۴۳۰	۳۸۹	۳۳۱
مبارک آباد	۲۵۴	۱۴۷	۸۲	۶۶	۸۱	۱۱۸	۱۹۱	۳۲۲	۴۲۲	۴۶۱	۴۳۴	۳۷۲	۲۹۵۰
لارستان	۲۹۴	۲۰۹	۱۱۷	۸۲	۹۳	۱۳۴	۲۲۲	۳۳۸	۴۴۱	۴۸۹	۴۵۷	۳۸۲	۳۳۶۰

دراب	۱۴۵/۲	۲۵۴/۸	۳۳۵/۵	۳۵۴/۲	۳۷۲/۶	۲۸۰	۱۸۶/۸	۱۱۵/۴	۵۷	۵۸/۸	۰	۰	۳ ۲۱۵۰
------	-------	-------	-------	-------	-------	-----	-------	-------	----	------	---	---	-----------

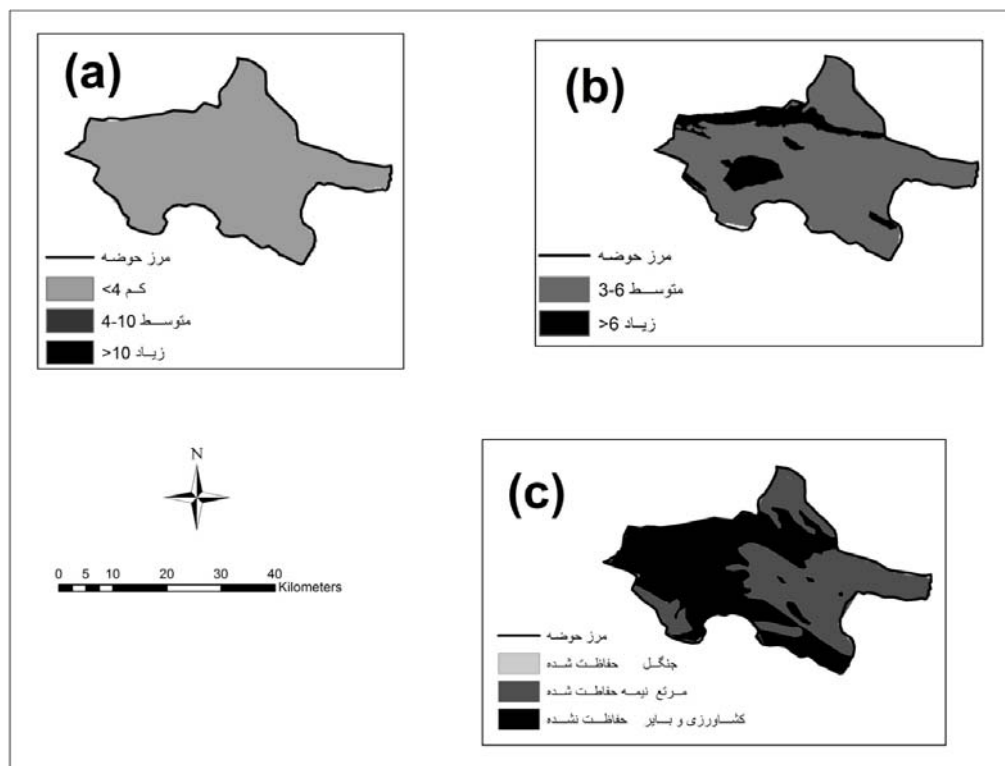
سپس با استفاده از نرم افزار ArcGIS10 و تابع SPLINE، نقاط ایستگاه‌های اقلیمی منطقه، میانمایی و در نهایت نقشه فرسایش دهندگی خاک (Soil Erosivity) با کمک رابطه ۳، تهیه شده است (شکل ۴).

$$Erosivity\ Index = Variability\ Class \times Aridity\ Class \quad :۳$$

پس از انجام محاسبه شاخص فرسایش دهندگی در منطقه، باید فرسایش پذیری خاک را نیز برآورد نمود. برای انجام این هدف، با استفاده از شاخص‌های بافت خاک، عمق خاک و درجه سنگلاخی بودن خاک، که بر اساس الگوریتم کرین (شکل ۱) بررسی و با استفاده از اطلاعات نقشه ۱:۲۵۰۰۰۰ خاک منطقه استخراج شد، نقشه و شاخص فرسایش پذیری خاک محاسبه شده است.

جهت محاسبه شاخص فرسایش پذیری خاک، با استفاده از ضرب ارزش عددی معیارها، مطابق رابطه ۴، شاخص فرسایش پذیری خاک برآورد و نقشه مذکور در محیط GIS تهیه شد (شکل ۴).

$$Soil\ Erodibility\ Index = Texture\ Class \times Depth\ Class \times Stoniness\ Class \quad :۴$$



شکل ۴ نقشه فرسایش دهندگی (a)، فرسایش پذیری (b) و نقشه پوشش گیاهی (c) حوضه آبخیز جهرم

سپس نقشه پتانسیل فرسایش خاک منطقه (خطر فرسایش بالقوه) از تلفیق نقشه فرسایش پذیری خاک ( Soil Erodibility)، فرسایش دهندگی (Soil Erosivity) و نقشه شیب، حاصل شده است (شکل ۶). برای این منظور از تابع Raster Calculator استفاده شده است.

جهت برآورد میزان خطر فرسایش واقعی، نیازمند محاسبه میزان فرسایش بر پایه پوشش گیاهی منطقه هستیم. از این رو در این پژوهش، پس از تهیه نقشه خطر فرسایش بالقوه، جهت تهیه نقشه خطر فرسایش بالفعل یا واقعی از نقشه پوشش بهره گرفته شده است. نقشه پوشش گیاهی در ۳ کلاس تقسیم بندی شد: کلاس اول، طبقه حفاظت شده که بیانگر پوشش جنگل منطقه است؛ کلاس دوم منطقه نیمه حفاظت شده که پوشش مرتع را در بر می گیرد و بخش اعظم شرق حوضه را به خود اختصاص داده است و گونه رایج آن آستاراگالوس (گون) می باشد و کلاس سوم که بیشترین بخش را به خود اختصاص داده است، منطقه حفاظت نشده که شامل بخش کشاورزی و بایر می باشد (شکل ۴). در نهایت نقشه خطر فرسایش واقعی خاک، از تلفیق نقشه خطر فرسایش بالقوه (پتانسیل) خاک و نقشه پوشش گیاهی، حاصل شد (شکل ۶). برای تهیه این نقشه هم مانند نقشه پتانسیل از ابزار Raster Calculator استفاده شده است.

### بحث و نتایج

شاخص فرسایش‌دهندگی فورنیه در حوضه مطالعاتی در حدود ۵۰/۷ محاسبه شد که در کلاس (یک) قرار گرفته است. محاسبه شاخص خشکی ترانسو در حوضه آبخیز جهرم، منطقه اقلیمی خشک را برای حوضه در پی داشت؛ از این رو نقشه فرسایش‌دهندگی حوضه مطالعاتی، با مقدار کمتر از ۴ در کلاس (یک) یا قدرت فرسایش‌دهندگی کم قرار گرفت.

نتایج به دست آمده از شاخص‌های عامل خاک نشان می‌دهد که بافت خاک در کلاس کم (یک)، عمق در کلاس (سه) کمتر از ۲۵ سانتیمتر و درجه سنگلاخی در کلاس متوسط، قرار گرفته‌اند و در نهایت موجب شده است تا فرسایش‌پذیری خاک حوضه مطالعاتی در کلاس متوسط حساسیت به فرسایش در برابر عامل فرسایش‌دهنده قرار گیرد. بنابراین ۸۳٪ منطقه مطالعاتی قابلیت فرسایش‌پذیری متوسطی را دارا هستند.

نقشه شیب که از روی نقشه DEM و نقشه توپوگرافی ۵۰۰۰۰:۱ تهیه شد و طبق مدل گرین اصلاح شده در چهار کلاس طبقه بندی شده است، نشان می‌دهد که ۲۹/۲ درصد از حوضه در شیب بالای ۱۶٪ (خیلی تند) واقع شده است و همچنین نواحی که در نقشه فرسایش واقعی کلاس بالای فرسایش را دارند، در این نواحی قرار گرفته‌اند و مناطقی که دارای فرسایش پتانسیل و واقعی کمی هستند در شیب‌های کمتر از ۴٪ قرار دارند.

تلفیق سه نقشه فرسایش‌پذیری، فرسایش‌دهندگی و شیب به نقشه خطر فرسایش پتانسیل یا بالقوه خاک (شکل ۶) منجر شد. در نقشه ذکر شده حدود ۲/۶۸ درصد حوضه آبخیز جهرم که نواحی جنوب، غرب، جنوب‌غرب، شمال‌شرق و بخشی از شمال‌غرب را در بر می‌گیرد، در کلاس بالا و متوسط فرسایش طبقه‌بندی شد. نقشه کاربری پوشش گیاهی (شکل ۴) بر مبنای تقسیم‌بندی سه گانه نشان داد که ۳۹٪ منطقه دارای پوشش مرتعی فقیر تا نیمه فقیر می‌باشد و زمینه فرسایش را قوت بخشیده است.

نقشه واقعی فرسایش خاک حوضه (شکل ۶) که از تلفیق نقشه پوشش گیاهی و نقشه فرسایش پتانسیل خاک تهیه شده است، بیانگر وجود ۷۶٪ فرسایش کم در منطقه مطالعاتی است که شامل نواحی شمالی، شرقی و مرکزی حوضه می‌باشد و ۳٪ منطقه با فرسایش زیاد روبرو است که مناطق جنوب‌غربی و قسمت‌هایی از غرب حوضه را در بر می‌گیرد. در مناطقی که دارای فرسایش واقعی بالایی‌اند در نواحی با بیشترین بارش، بیشترین شیب و کمترین پوشش گیاهی دیده می‌شود.

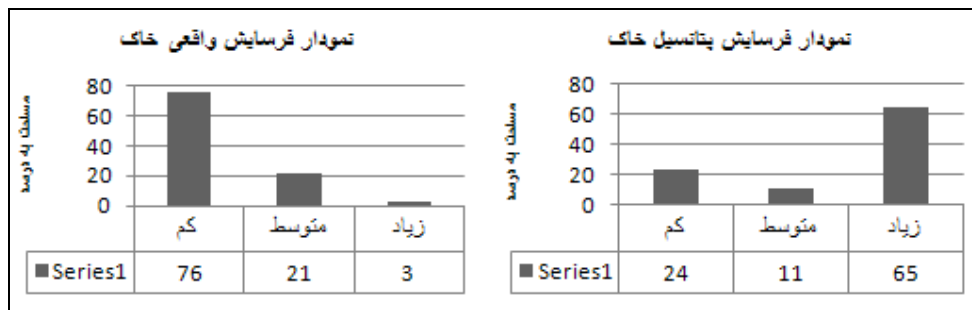
### مقایسه فرسایش پتانسیل و فرسایش واقعی خاک

جدول ۴، فرسایش پتانسیل خاک را نشان می‌دهد و طبق داده‌های این جدول، ۲۴ درصد منطقه دارای فرسایش پتانسیل کم، ۱۱ درصد فرسایش متوسط و ۶۵ درصد دارای فرسایش پتانسیل زیاد است که بیشترین مساحت (۶۹۴ کیلومتر مربع) را تشکیل می‌دهد.

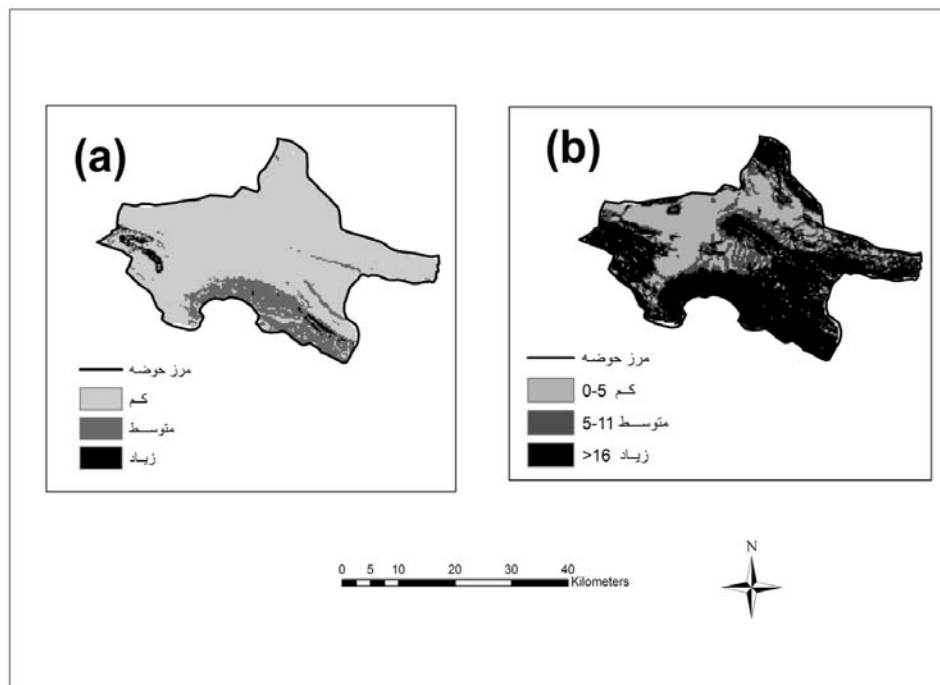
در نهایت نقشه فرسایش بالقوه خاک، با ادغام در نقشه کاربری پوشش گیاهی، منجر به تولید نقشه فرسایش واقعی خاک شد. نتایج نمودار خطر فرسایش واقعی خاک نشان می‌دهد که ۷۶ درصد منطقه دارای فرسایش واقعی کم، ۲۱ درصد متوسط و ۳ درصد با فرسایش زیاد رو به رو هستند (شکل ۵).

جدول ۴ توزیع فرسایش پتانسیل و واقعی خاک در منطقه مورد مطالعه

فرسایش واقعی خاک			فرسایش پتانسیل خاک		
درصد	km <sup>2</sup>	طبقه	درصد	km <sup>2</sup>	طبقه
٪۷۶	۷۴۳	کم	٪۲۴	۲۶۴	۰-۵
٪۲۱	۲۴۰	متوسط	٪۱۱	۵۰	۵-۱۱
٪۳	۲۵	زیاد	٪۶۵	۶۹۴	>۱۱
٪۱۰۰	۱۰۰۸		٪۱۰۰	۱۰۰۸	



شکل ۵ نمودار درصد فراوانی فرسایش واقعی و پتانسیل خاک حوضه آبخیز جهرم



شکل ۶ نقشه فرسایش واقعی (a) و فرسایش پتانسیل (b) خاک حوضه آبخیز جهرم

همان‌طور که در شکل ۶ ملاحظه می‌شود، مقادیر فرسایش واقعی و فرسایش پتانسیل حوضه مطالعه شده با هم متفاوت است و این تفاوت به لحاظ شدن پوشش گیاهی در محاسبه فرسایش واقعی، بر می‌گردد. پوشش گیاهی قادر است فرسایش خاک را کنترل کند. با توجه به شکل ۶، پس از محاسبه فرسایش پتانسیل و واقعی خاک مشاهده می‌شود که بعد از لحاظ شدن لایه پوشش، کلاس کم در خطر فرسایش بالقوه از ۲۴ درصد به ۷۶ درصد در خطر فرسایش واقعی افزایش یافته است و همچنین کلاس زیاد فرسایش بالقوه از ۶۵ درصد به ۳ درصد در فرسایش واقعی کاهش چشمگیری داشته است. نتایج به دست آمده حاکی از نقش بسیار زیاد پوشش گیاهی در فرسایش خاک است و نکته حائز اهمیت این که کنترل پوشش گیاهی تا حد زیادی به انسان بر می‌گردد. بنابراین با اجرا کردن اقدامات حفاظتی و ممنوع کردن بهره‌برداری از مناطق حساس خاک، فرسایش خاک به میزان زیادی کاهش خواهد یافت. عامل‌های شیب، بارندگی و فرسایش‌پذیری خاک از جمله عوامل ذاتی و تعیین کننده حساسیت خاک نسبت به فرسایش است، ولی مهار دو عامل دیگر، یعنی پوشش گیاهی و مسائل حفاظتی در دست انسان است.

این پژوهش با کاربرد GIS و بر اساس مدل گرین اصلاح شده به منظور رسیدن به نقشه فرسایش واقعی خاک تهیه شده است. هرچند که مدل گرین قادر نیست مقدار و میزان تولید رسوبات را تخمین بزند، اما با تهیه نقشه خطر فرسایش واقعی خاک، توان تجزیه و تحلیل‌ها و اجرای طرح‌های حفاظت محیطی را بالا برده و درک دقیق‌تری از وضعیت منطقه خواهد داد.

### نتیجه‌گیری

پس از بررسی و تجزیه و تحلیل داده‌ها، نقشه فرسایش واقعی خاک حوضه آبخیز جهرم تهیه شده است. شکل (۶) به خوبی نشان می‌دهد اگرچه فرسایش واقعی حوضه کوچکی را در بر گرفته است، اما با سهل انگاری و عدم تمهیدات لازم به سرعت جای خود را به محدوده بسیار بزرگی خواهد داد که جبران‌ناپذیر خواهد بود. نتایج به دست آمده حاکی از نقش بسیار زیاد پوشش گیاهی در فرسایش خاک است و نکته حائز اهمیت این که کنترل پوشش گیاهی تا حد زیادی به انسان بر می‌گردد. بنابراین با اجرا کردن اقدامات حفاظتی و ممنوع کردن بهره‌برداری از مناطق حساس خاک، فرسایش خاک به میزان زیادی کاهش خواهد یافت. عامل‌های شیب، بارندگی و فرسایش‌پذیری خاک از جمله عوامل ذاتی و تعیین کننده حساسیت خاک نسبت به فرسایش است، ولی مهار دو عامل دیگر، یعنی پوشش گیاهی و مسائل حفاظتی در دست انسان است.

این پژوهش با کاربرد GIS و بر اساس مدل گرین اصلاح شده به منظور رسیدن به نقشه فرسایش واقعی خاک تهیه شده است. هرچند که مدل گرین قادر نیست مقدار و میزان تولید رسوبات را تخمین بزند، اما با تهیه

نقشه خطر فرسایش واقعی خاک، توان تجزیه و تحلیل‌ها و اجرای طرح‌های حفاظت محیطی را بالا برده و درک دقیق‌تری از وضعیت منطقه خواهد داد.

### سیاسگذاری

نویسندگان مقاله، از شرکت مهندسی مشاور پورآب فارس، که با حمایت معنوی و در اختیار گذاشتن اطلاعات اقلیمی و خاک، پژوهشگران را در رسیدن به اهداف پژوهش حاضر یاری رساندند، کمال تشکر را دارند.

### References

- Attanda Mouinou Igue., 2002. "The Qualitative Assessment of water erosion risk in moist savanna of Benin". 12<sup>th</sup> ISCO conference Beijing
- Aydin, A., H.B. Tecimen., 2010. Temporal soil erosion risk evaluation: a CORINE methodology application at Elmali dam watershed. Istanbul, Environmental Earth Science journal 61, 1457-1465
- Bayramin, I., G. Erpul., H.E. Erdogan., 2006. Use of CORINE Methodology to Assess soil Erosion Risk in the Semi- Arid Area of Beypazari. Ankara, Turk J Agric 30, 81-100
- Cartagena, D. F., 2004. "Remotely sensed land cover parameter extraction for watershed erosion modeling". www.itc.nl
- Dengiz, O., S. Akgul., 2004. Soil erosion risk assessment of the Golbasi environmental protection are and its vicinity using the CORINE model. Turk J Agric 29, 439-448.
- Dogan, O., 1998. Sustainable policies for soil resource management in Turkey. GDRS 212, Research Institute-Ankara.
- Ekhatesasi, MR., A. Sepehr., 2012. Methods and models of desertification assessment and mapping, Yaz University press, first edition, 290p.
- Gitas, LZ., k. Dourose, C. Minakou., G.N. Silleos, C.G. Karydas., 2000. Multi-Temporal soil erosion risk assessment in N. Chalkidiki using a modified USLE raster model. 8 (1), 40-52
- Grimm, M., R.JA Jones 2003. Soil erosion risk in Italy: a revised USLE approach. RESEARCH REPORT NO. 11
- Hudson, N., 1981. Soil Conservation. The University of Michigan, 324 p.
- Kahkesh, M., 1997. Assessment of Soil Erodibility Using GIS and RS (Case Study: Dez Dam Basin), MSc Thesis, Tarbiat Modarres University.
- Karami, E., 1994. Soil Conservation and Erosion Control. MSc Thesis, Islamic Azad University, Najaf Abad Branch.
- Malava, J., F. Bonda., 1999. " Proposal for research to support erosion hazard assessment in Malawi", Agriculture engineering Bunda College of Agriculture, www.ag.arizona.edu
- Morgan, R.P.C., D.D.V. Morgan., H.J. Finney., 1984. A predictive model for the assessment of soil erosion risk. J. Agric. Engng. Res 30, 245-253.
- Parlak, M., Y. Dincsoy., K. Seyrek., 2003. Determination of Erosion Risk According to CORINE Methodology (a case study: KURTBOGAZI DAM). International Congress on River Basin Management, Istanbul, March 2003.
- Rahmatnia, A., 1998. Assessment of Soil Erodibility Using GIS & RS (Case study: west and southern west of Gharasou Basin). MSc Thesis, Tarbiat Modarres University
- Refahi, HG., 1997. Water Erosion and Control, First Edition, University of Tehran Press. 265 pp.



- Rostaei, S., Nikjou, MR., A, Habibzadeh 2011. Investigation of Soil erodibility of Bejoshan Chay Basin based on Fuzzy-GIS. *Journal of Geography and planning, Tabriz University* 33, 147-173.
- Shahoei, S., 1999. Soil erosion and Production Potential. Organization of Agricultural Research, Education and Promotion, Agri education Press, 120 p.
- Svorin Josfin., 2003. A test of three soil erosion models incorporated in to a geographical information system, Hydrological processes17, university of Copenhagen.
- Yuksel, AI., R. Gundogan, A.E. Akay., 2008. Using the Remote Sensing andGIS Technology for Erosion Risk Mapping of Kartalkaya Dam Watershed in Kahramanmaras, Turkey. *Sensors* 8, 4851-4865